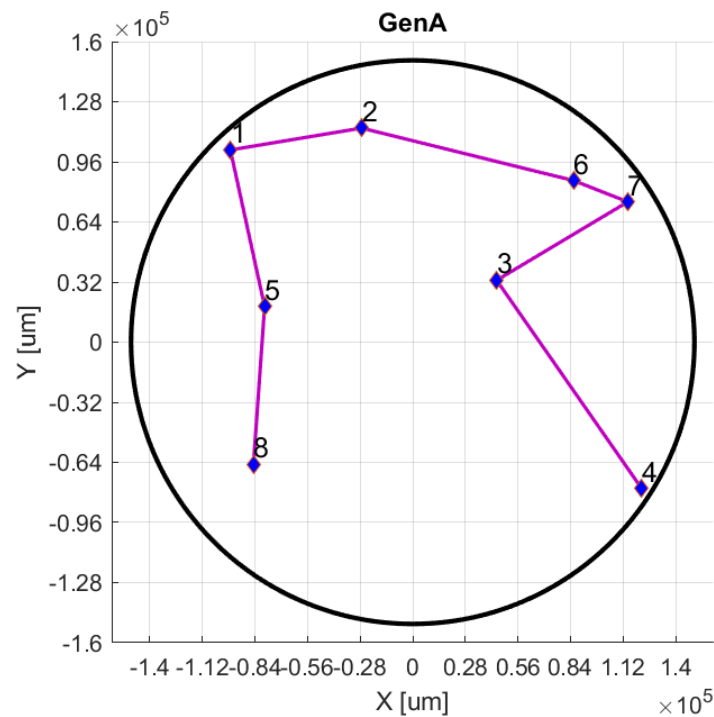


Multi-Objective Optimization

Traveling Salesperson Problem Project Report



מרצה – מר אלירן פרחי

מגישים:

שי גולדשטיין 060517232

אייל צימרמן 204092654

תוכן עניינים

| | |
|----|----------------------------------|
| 3 | 1. מבוא..... |
| 3 | 2. הגדרת הבעיה..... |
| 4 | 3. הגדרת בעיית האופטימיזציה..... |
| 5 | 4. האלגוריתמים..... |
| 5 | 4.1 NSGAII..... |
| 6 | 4.2 MEOA/D..... |
| 8 | 5. תוצאות..... |
| 8 | 5.1 תיאור התוצאות..... |
| 11 | 5.2 מדדי השוואה..... |
| 12 | 5.3 ניתוח התוצאות..... |
| 13 | 5.4 הצגת פתרונות אופייניים..... |
| 13 | 6. דיון ומסקנות..... |

1. מבוא

מערכת SEM (Defect Review) DR היא חלק אינטגרלי וקריטי במפעלי ייצור שבבים אלקטרוניים. המערכת משתלבת בפס הייצור בתהליכי הבקרה "עיניים" של המפעל. המערכת מקבלת מפת מיקומים חשודים לפגמים בייצור, מנווטת אליהם ומצלמת אותם במיקרוסקופ אלקטרוני. המערכת נדרשת לטעות ניווט הקטנה מכמה מאות ננומטרים ולבצע פעולה זו בזמן הקצר ביותר.

2. הגדרת הבעיה

המערכת צריכה לנווט בזמן מינימלי ובדיוק מקסימלי לכל מיקומי הפגמים הפוטנציאליים על מנת לתת ערך מקסימלי ללקוח ולשפר את תהליך הייצור. על ידי השגת יעדים אלו, המערכת תוכל לדגום יותר פגמים בתמונות ברזולוציה משופרת וכך לשפר את תהליך הייצור. ישנן דרכים רבות לשפר פרמטרים אלו, אך לעבודה זו התמקדנו באופטימיזציה של מסלול הניווט בין הפגמים. בצורה זו הבעיה שקולה לבעיית הסוכן הנוסע. להגדרת הבעיה הנחנו את ההנחות הבאות:

- מיקומי הפגמים וכמותם משתנים בכל פעם ופעם ואינם ידועים מראש
 - לתוצאות המוצגות בדו"ח זה השתמשנו במיקומים קבועים של 50 פגמים על מנת לבצע ניתוח סטטיסטי והשוואה בין שני אלגוריתמים שונים
- כמות הפגמים יכולה לנוע מפגם בודד ועד 50 אלף פגמים
- נקודת ההתחלה אינה קבועה ויכולה להיות כל פגם מהרשימה
- אין צורך לחזור בסוף המסלול לנקודת ההתחלה ולכן המסלול אינו מעגלי
- הפגמים יכולים להיות בכל מקום בפרוסת הסיליקון הנבדקת ברדיוס של 150 מ"מ
- קורדינטות הפגמים נתונים ביחידות של ננומטרים
- ביצועי אלגוריתם הניווט הקיים במערכת, Nearest Neighbor (NN), הינם בסיס השוואתי לביצועי האלגוריתמים המוצגים בדו"ח זה

3. הגדרת בעיית האופטימיזציה

נבחרו שתי פונקציות מטרה שברצוננו למזער:

$$f_1(\bar{d}) = \sum d_i$$

$$f_2(\bar{d}) = \sqrt{\frac{\sum (d_i - \mu)^2}{N}}$$

כאשר:

$$\bar{d} = (d_1, d_2, \dots, d_N)$$

d_i - distance between defect i and defect $i + 1$

N – number of defects

$$\mu = \frac{\sum d_i}{N}$$

כלומר, הפונקציה הראשונה היא סכום המרחקים והפונקציה השנייה היא מזעור סטיית התקן של המרחקים.

על ידי מזעור סכום המרחקים אנחנו מוודאים שהמרחק הכולל קצר ככל הניתן, ואנחנו יודעים שישנו קשר לינארית בין זמן התנועה למרחקו.

על ידי מזעור סטיית התקן של התנועות אנו מוודאים שהתנועות אחידות ככל הניתן אחת לשנייה במרחקן וכך מוודאים שהתנועה האופיינית תהיה קצרה ככל הניתן. אנו יודעים שתנועה קצרה בעלת קורלציה חזקה לטעות ניווט קטנה יותר ביחס לתנועה ארוכה.

מרחב ההחלטות מוגדר לפי קורדינטות הפגמים:

x_i, y_i - defect coordinates

ומוגבל לפי:

$$\sqrt{x_i^2 + y_i^2} \leq 150,000, \forall i$$

4. האלגוריתמים

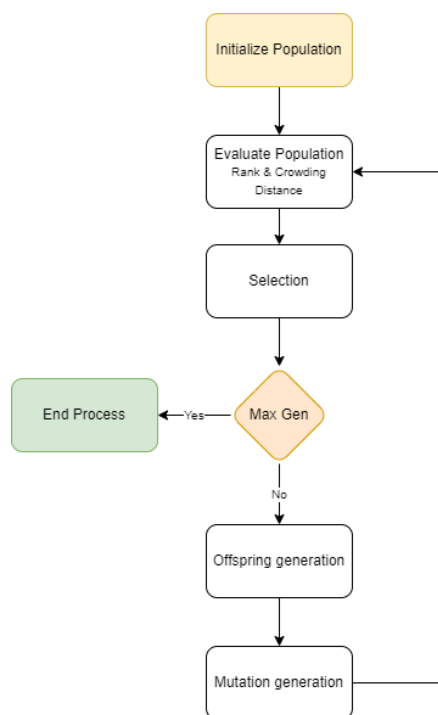
בחרנו בעבודה זו בשני אלגוריתמים גנטיים:

- NSGAII – נבחר לפי סקירת מאמרים לבעיית TSP עם שתי פונקציות מטרה. ראינו שזהו אלגוריתם פופולרי לבעיה זו בספרות ויחסית מוצלח. כמו כן, אלגוריתם זה נלמד בכיתה.
- MOEA/D – נבחר רנדומלית בשבילנו ולמדנו, מן הספרות, שהוא אפקטיבי גם כן ובמיוחד אפקטיבי יותר ביחס ל NSGAII בבעיות עם יותר משני ממדים

NSGAII 4.1

אלגוריתם זה, הוא אלגוריתם גנטי שייחודו הוא האליטיזם ותהליך תיעדוף הכרומוזומים. האלגוריתם מתחיל על ידי יצירת מספר פתרונות התחלתיים. כל פתרון הוא כרומוזום וכל גן בכרומוזום מייצג מיקום במסלול. סדר הגנים בכרומוזום מייצג את המסלול. בשלב הבא, מדרגים את הפתרונות לפי ה-rank שלהם ודירוג משני של Crowding Distance. בשלב הבא, אנו יוצרים דורות ומוטציות אשר מדורגות שוב, יחד עם אוכלוסיית ההורים (שלב האליטיזם) ובחרים את הפתרונות המדרגים גבוה ביותר מבניהם (כך שנשאר עם אוכלוסייה קבועה בסוף כל מחזור).

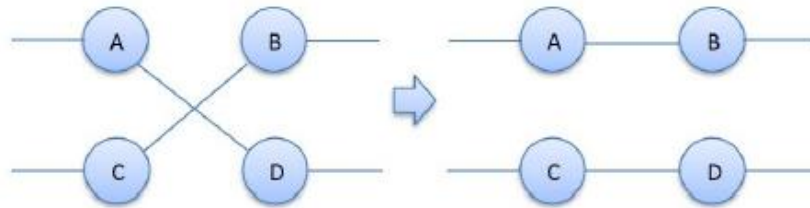
במקרה שלנו, לא הטמענו תנאי עצירה אלא קבענו מספר דורות לתהליך. את תרשים האלגוריתם הקלאסי ניתן לראות באיור 1.



איור 1 - דיאגרמה כללית ל NSGAII

ביצענו מספר שינויים לאלגוריתם הקלאסי של NSGAII על מנת למקסם את ביצועיו לבעיית TSP מכיוון שאינו מותאם בצורתו הבסיסית לבעיה זו:

- בחרנו בפונקציית Crossover Nearest Neighbor (CNN) (Satyanananda, 2015). פונקציה זו מניחה שהמרחק הקצר ביותר בין שני אתרים יוביל לפתרון האידיאלי ביותר. כך, מתוך שני הורים, נבחר גן אחר אקראית, ולאחריו נבחר הגן הבא בשרשרת של כל הורה הקרוב ביותר אליו. כך עוברים על כל הגנים עד שנוצר הצאצא
- לפונקציית המוטציה בחרנו בלוגיקת invert, אשר לוקחת חלק אקראי באורך אקראי בשרשרת הגנים והופכת את סדרו
- במהלך העבודה ראינו שאנו מתכנסים שוב ושוב, במספר פגמים נמוך יחסית של 20, למינימום מקומי ולא מצליחים "לנצח" את תוצאות אלגוריתם הבסיס (NN) בזמן סביר. לפיכך, חקרנו בספרות ולמדנו על אלגוריתם 2Opt אשר עקרונו הוא "התרת" קשרים במסלול תחת הנחת מוצא ש"אלכסון הוא אסון". כלומר, כאשר לוקחים שתי דרכים אקראיות, אם נבדוק את סכום מסלולם במצב המקורי ונשווה לסכום הדרך כאשר מחליפים בין נקודות ההתחלה והסוף (כפי שניתן לראות באיור 2) נקבל את המסלול הקצר ביותר. את הלוגיקה הזו הוספנו כפונקציית מוטציה שנייה (D. Nuraiman, 2018)



איור 2 - איור של לפני (משמאל) ואחרי (מימין) של אלגוריתם 2Opt (D. Nuraiman, 2018)

MEOA/D 4.2

אלגוריתם זה לוקח את בעיית האופטימיזציה ומפרק אותה לN תת בעיות אופטימיזציה של סקלר, כל הבעיות נפתרות במקביל והאוכלוסייה מתפתחת בהתאם לפתרונות הטובים ביותר. כל תת בעיה עוברת אופטימיזציה בשימוש של מידע מהפתרונות השכנים.

לד/MOE/MOEA מספר תכונות:

- עושה אופטימיזציה לN בעיות סקלר מאשר אופטימיזציה לכל הבעיה, גישה קלה יותר למציאת ההתאמה (fitness) ומגוון.
- סיבוכיות חישוב נמוכה יחסית
- מתמודד עם בעיות של אופטימיזציה סקלר באופן טבעי
- מוצא "פשרה" בין פונקציות המטרה

ישנם מספר שיטות להמיר את ההערכת קו הפרטו למספר בעיות סקלר, הגישה שהשתמשנו בפרויקט היא Tchecycheff Approach:

$$\max g^{te}(x|\lambda, z^*) = \min (\lambda_i | f_i - z_i^*)$$

$$z^* = (z_1^*, \dots, z_N^*)$$

$$\lambda = (\lambda_1, \dots, \lambda_N)$$

Step 1) Initialization:

Step 1.1) Set $EP = \emptyset$.

Step 1.2) Compute the Euclidean distances between any two weight vectors and then work out the T closest weight vectors to each weight vector. For each $i = 1, \dots, N$, set $B(i) = \{i_1, \dots, i_T\}$, where $\lambda^{i_1}, \dots, \lambda^{i_T}$ are the T closest weight vectors to λ^i .

Step 1.3) Generate an initial population x^1, \dots, x^N randomly or by a problem-specific method. Set $FV^i = F(x^i)$.

Step 1.4) Initialize $z = (z_1, \dots, z_m)^T$ by a problem-specific method.

Step 2) Update:

For $i = 1, \dots, N$, do

Step 2.1) Reproduction: Randomly select two indexes k, l from $B(i)$, and then generate a new solution y from x^k and x^l by using genetic operators.

Step 2.2) Improvement: Apply a problem-specific repair/improvement heuristic on y to produce y' .

Step 2.3) Update of z : For each $j = 1, \dots, m$, if $z_j < f_j(y')$, then set $z_j = f_j(y')$.

Step 2.4) Update of Neighboring Solutions: For each index $j \in B(i)$, if $g^{te}(y'|\lambda^j, z) \leq g^{te}(x^j|\lambda^j, z)$, then set $x^j = y'$ and $FV^j = F(y')$.

Step 2.5) Update of EP:

Remove from EP all the vectors dominated by $F(y')$.

Add $F(y')$ to EP if no vectors in EP dominate $F(y')$.

Step 3) Stopping Criteria: If stopping criteria is satisfied, then stop and output EP. Otherwise, go to **Step 2**.

5. תוצאות

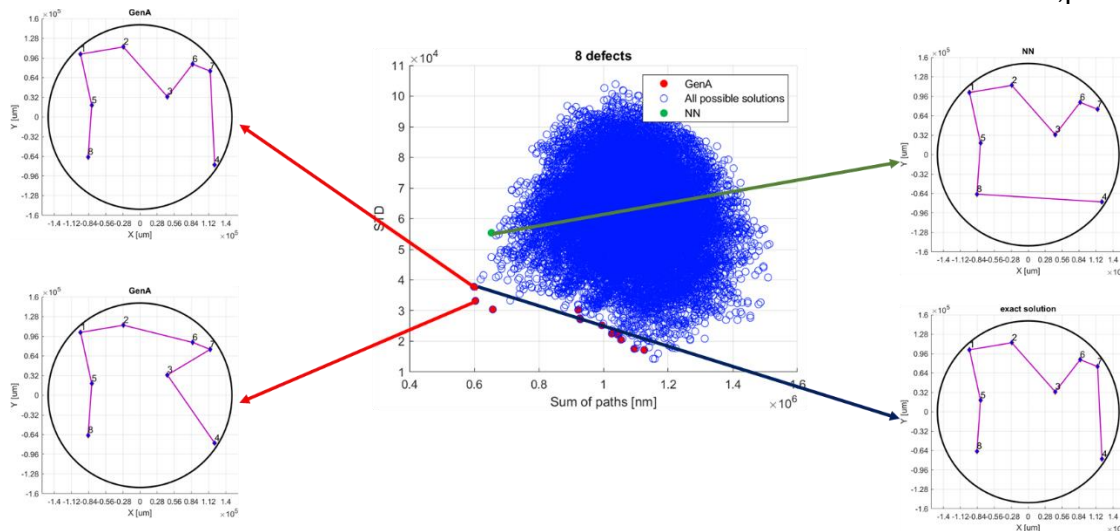
5.1 תיאור התוצאות

ראשית, רצינו לבדוק את ביצועי האלגוריתם למרחב הפתרונות המלא. מכיוון שמספר האפשרויות הוא $\frac{n!}{2}$, כאשר n זה מספר הפגמים, צמצמנו את הבדיקה עד 8 אתרים בלבד. בטבלה 1, ניתן לראות השוואה של ביצועי NSGA2 ו-NN לעומת הפתרון האופטימלי האמיתי. המדד הנבחר להשוואה הוא הזמן המינימלי (אשר חושב ממרחקי התנועה של כל מסלול).

| Travel Time - efficiency | | | | | | | | | | | | |
|--------------------------|-------|------|------|-------|------|------|-------|------|------|-------|-----|------|
| Locations | 5 | | | 6 | | | 7 | | | 8 | | |
| Iteration | Exact | NN | GenA | Exact | NN | GenA | Exact | NN | GenA | Exact | NN | GenA |
| 1 | 100% | 89% | 100% | 100% | 95% | 100% | 100% | 94% | 100% | 100% | 96% | 100% |
| 2 | 100% | 100% | 100% | 100% | 98% | 100% | 100% | 86% | 100% | 100% | 93% | 100% |
| 3 | 100% | 100% | 100% | 100% | 92% | 100% | 100% | 97% | 100% | 100% | 95% | 96% |
| 4 | 100% | 93% | 100% | 100% | 100% | 100% | 100% | 97% | 100% | 100% | 96% | 100% |
| 5 | 100% | 95% | 100% | 100% | 95% | 100% | 100% | 100% | 100% | 100% | 99% | 100% |
| 6 | 100% | 97% | 100% | 100% | 99% | 100% | 100% | 93% | 100% | 100% | 90% | 100% |
| 7 | 100% | 100% | 100% | 100% | 95% | 100% | 100% | 93% | 100% | 100% | 96% | 100% |
| 8 | 100% | 94% | 100% | 100% | 96% | 100% | 100% | 99% | 100% | 100% | 98% | 100% |
| 9 | 100% | 90% | 100% | 100% | 95% | 100% | 100% | 97% | 100% | 100% | 88% | 100% |
| 10 | 100% | 92% | 100% | 100% | 90% | 100% | 100% | 95% | 100% | 100% | 91% | 100% |
| Avg. | | 95% | 100% | | 96% | 100% | | 95% | 100% | | 94% | 100% |

טבלה 1 – השוואת אלגוריתמים לפי זמן תנועה

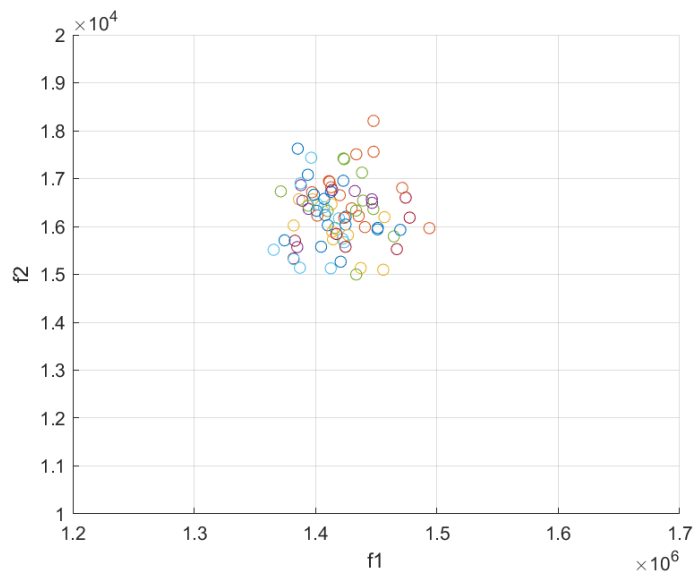
באיור מספר 3, ניתן לראות תצוגה גרפית של 8 פגמים עם כל הפתרונות האפשריים בכחול, פתרון NN בירוק, והחזית של NSGA2 באדום.



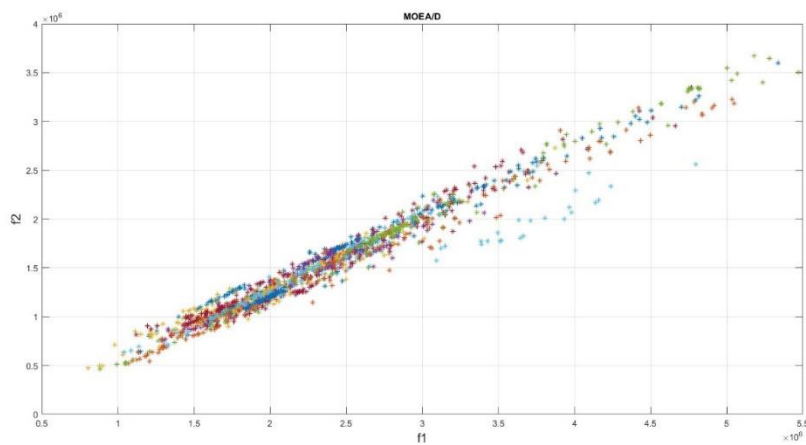
איור 3 -מרחב הפתרונות ל 8 פגמים

לאחר וידוא ראשוני, עברנו לבעיה קשה יותר של 50 אתרים. כל אלגוריתם הורץ 30 פעמים, לצורך מדגם סטטיסטי מינימלי, על אותו סט של פגמים. בכל הרצה, בוצעו 75 חזרות (דורות) עם גודל אוכלוסייה של 50 פתרונות.

באיורים הבאים ניתן לראות את חזית הפרטו של כל אחת מ-30 הריצות לכל אלגוריתם ובנוסף חזית פרטו מאוחדת לכל אלגוריתם בנפרד.

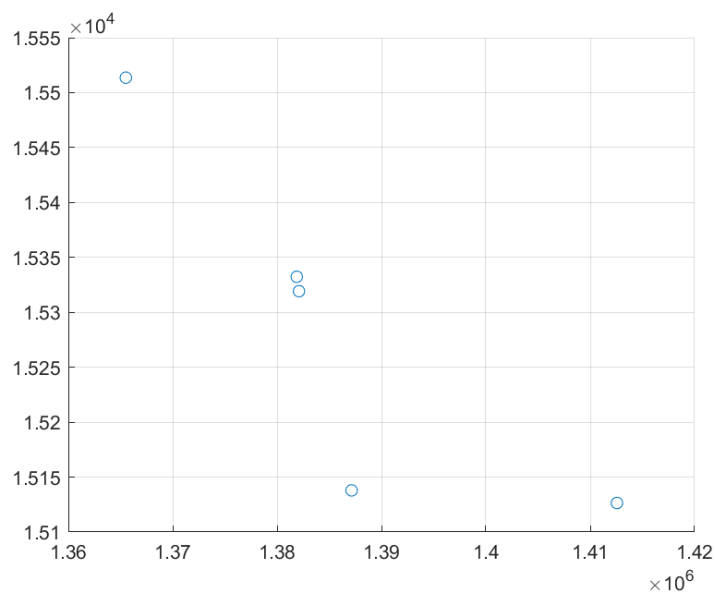


איור 4 - קבוצת האיחוד ל-NSGA2

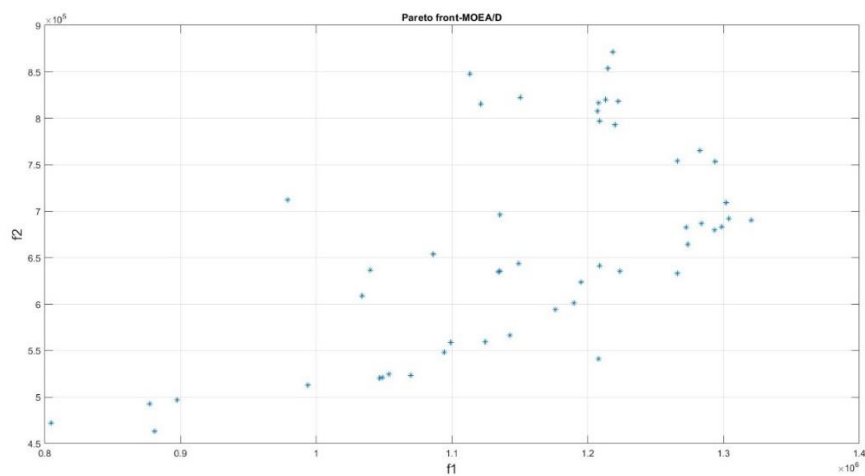


איור 5 - קבוצת האיחוד ל-MOEAD/A

באיורים הבאים ניתן לראות חזית איחוד מכל 30 ההרצות לכל אלגוריתם:



איור 6 - חזית האיחוד ל-NSGA2



איור 7 - חזית האיחוד ל-MOEA/D

5.2 מדדי השוואה

השתמשנו בשלושת מדדי ההשוואה כפי שגדרש וקיבלנו את התוצאות הבאות:

| Run | MOEA/D | | | NSGAII | | |
|----------|----------|--------|--------|----------|----------|---------|
| | IGD | Spread | HV | IGD | Spread | HV |
| 1 | 126082 | 0.7010 | 0.6823 | 8105 | 0.6667 | 0.2123 |
| 2 | 143564 | 0.6081 | 0.7981 | 4769 | 0.6236 | 0.4140 |
| 3 | 77383 | 0.7297 | 0.6141 | 11379 | 0.6550 | 0.4557 |
| 4 | 127738 | 0.6560 | 0.7178 | 3831 | 0.6667 | 0.2459 |
| 5 | 81700 | 0.9060 | 0.5585 | 17383 | 0.8987 | 0.3599 |
| 6 | 74342 | 0.8299 | 0.4142 | 5406 | 0.5995 | 0.3883 |
| 7 | 75550 | 0.5895 | 0.3465 | 0 | 0.6667 | 0.3356 |
| 8 | 74342 | 0.6247 | 0.2548 | 10164 | 0.7565 | 0.4901 |
| 9 | 75563 | 0.5660 | 0.3752 | 6233 | 0.5449 | 0.3572 |
| 10 | 137193 | 0.7250 | 0.7650 | 348 | Inf | 0.1423 |
| 11 | 74342 | 0.7042 | 0.5618 | 1115 | Inf | 0.1569 |
| 12 | 96509 | 0.4733 | 0.2709 | 4590 | 0.6667 | 0.2434 |
| 13 | 89216 | 0.6298 | 0.4985 | 0 | 0.7207 | 0.6644 |
| 14 | 74985 | 0.7890 | 0.5853 | 44824 | 0.6667 | 0.1816 |
| 15 | 74342 | 0.6807 | 0.4376 | 3604 | 0.7000 | 0.4129 |
| 16 | 90291 | 0.6677 | 0.7236 | 29437 | 0.6667 | 0.1848 |
| 17 | 136354 | 0.7178 | 0.7346 | 17256 | 0.7341 | 0.4067 |
| 18 | 81513 | 0.6280 | 0.5461 | 953 | Inf | 0.1101 |
| 19 | 76812 | 1.0259 | 0.4853 | 10679 | 0.6858 | 0.4501 |
| 20 | 75790 | 0.7429 | 0.7188 | 3012 | 0.6667 | 0.2274 |
| 21 | 75948 | 0.5917 | 0.4378 | 513 | Inf | 0.1531 |
| 22 | 104891 | 0.8550 | 0.5117 | 4525 | 0.6054 | 0.4525 |
| 23 | 80967 | 0.6688 | 0.4553 | 22871 | 0.9957 | 0.3976 |
| 24 | 101290 | 0.5380 | 0.5690 | 1180 | 0.6667 | 0.2693 |
| 25 | 83168 | 0.6937 | 0.5006 | 13003 | 0.6645 | 0.4000 |
| 26 | 74342 | 0.6846 | 0.4055 | 14808 | 0.6667 | 0.2597 |
| 27 | 92509 | 0.4714 | 0.5565 | 7308 | 0.6667 | 0.2061 |
| 28 | 157204 | 0.6025 | 0.7860 | 18659 | 0.5408 | 0.3862 |
| 29 | 74342 | 1.0276 | 0.6525 | 17592 | 0.6757 | 0.4437 |
| 30 | 95406 | 0.7158 | 0.4727 | 24994 | 0.6667 | 0.1201 |
| AVG | 93456 | 0.6948 | 0.5479 | 11019 | 0.6821 | 0.3176 |
| Median | 81606 | 0.6827 | 0.5513 | 7706 | 0.6667 | 0.3464 |
| Variance | 6.09E+08 | 0.0179 | 0.0223 | 1.04E+08 | 0.008228 | 0.01745 |

כפי שניתן לראות בטבלה, ישנן שתי חריגות סטטיסטיות:

1. בואו NSGAII, מדד ה IGD מתאפס בשני מקרים. שני מקרים אלו, הם כאשר כל הפתרונות בחזית של הרצה זו נמצאים בחזית המאוחדת ולכן מרחקם מהחזית הוא אפס.
2. בואו NSGAII, מדד Spread שווה ל Inf במקרים בהם ישנו רק פתרון אחד בחזית של אותה ההרצה ולכן אין אפשר לחשב את הפיזור והמספר שנקבע למקרה זה הוא inf בכל המקרים החרגנו את אותה תוצאה חריגה במדד זה מחישוב הממוצע, חציון וסטיית התקן.

5.3 ניתוח התוצאות

בשני האלגוריתמים, לא התכנסו לחזית "קלאסית" וחלקה. זאת מכיוון שהמקרה של TSP, הפתרון הוא דיסקרטי. ניתן לראות באיור 3 כיצד ישנו "ענן" פתרונות (לכל הפתרונות האפשריים) עם "שלוחות" לכיוון המינימום ששם נמצאים הפתרונות האופטימליים. לכן, מבנה החזיתות אינו מפתיע.

ניתן לראות הבדל חזותי בין שני האלגוריתמים באיורים 4 ו-5. מצד אחד, בואו NSGAII, ישנו "ענן" אחיד ביחס הממדים שלו, בניגוד ל MEOA/D, אך מצד שני, מספר הפתרונות בכל חזית בואו NSGAII קטן משמעותית ממספר הפתרונות ב MEOA/D.

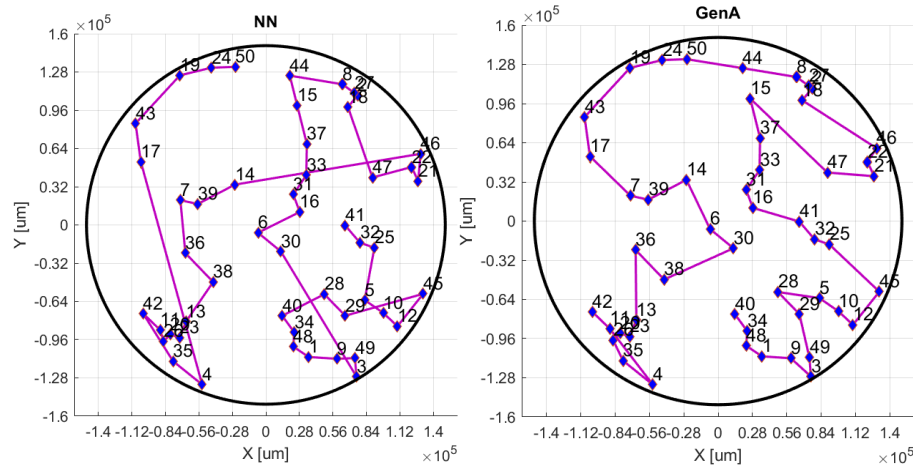
הבדל זה נראה, במידה מסוימת, גם בניתוח הסטטיסטי במדד HV. מדד זה, מחשב את היחס בין התחום החוסם של חזית פתרונות של ריצה מסוימת לחזית האופטימלית (שמסונתזת מ 30 הריצות יחידיו). במקרה שלנו, מדד זה ייתן אינדיקציה לצורת ה"ענן". בואו NSGAII, הענן סימטרי ואינו מתפרס ביחס לפתרונות ב MEOA/D.

במבט על שאר המדדים, ניתן לראות שמדד Spread דומה מאוד בין שני האלגוריתמים. דבר המצביע שלמרות המבנה השונה של הענן, הפיזור בין הפתרונות בכל הרצה דומה. מדד IDG שונה מהותית בין שני האלגוריתמים. כאשר בואו NSGAII הוא קטן פי 8 לערך ביחס ל MEOA/D. כלומר, הפתרונות המתקבלים בואו NSGAII היו אחידים יותר (מדד זה מודד את ה"קרבה" של פתרון לחזית האיחוד) ומתיישב היטב עם הפריסה של הפתרונות בכל אחד מהאלגוריתמים. בנוסף, סטיית התקן במדד זה קטנה משמעותית גם כן בואו NSGAII ביחס ל MEOA/D.

זמני החישוב, בשני האלגוריתמים זמן הריצה היה די דומה, היו בסביבות 30 עד 40 שניות לכל ריצה עם 75 דורות.

5.4 הצגת פתרונות אופייניים

בנוסף לאיור 3 המציג פתרונות אפשריים למקרה של 8 אתרים, באיור 8 ניתן לראות מסלול ניווט בין 50 אתרים בעזרת אלגוריתם NSGAII ולהשוואה בעזרת אלגוריתם NN.



איור 8 - מימין, פתרון 50 אתרים בעזרת NSGAII ; משמאל, פתרון לאותה הבעיה בעזרת NN

כפי שניתן לראות, המסלול בו NSGAII "נקי" יותר, ללא הצלבות במסלול. זוהי הלוגיקה אשר דחפה אותנו להוסיף את המוטציה הנוספת המבוססת על אלגוריתם 2-opt.

6. דיון ומסקנות

בשני האלגוריתמים, לא קיבלנו חזית אחידה וקלאסית בגלל מבנה בעיית TSP שהיא בעיה דיסקרטית ולכן, בהינתן פונקציות המטרה הנבחרות, לא ניתן לקבל חזית חלקה. מכשול זה נראה חזותית כאשר ממפים את כל מרחב הפתרונות, כפי שרואים באיור 8. אי לכך, ישנה גם נטייה של האלגוריתם "ליפול" למינימום מקומי כאשר מתקרבים אל החזית מכיוון שענן הפתרונות יוצאות "שלוחות" אל עבר המינימום. חזותית, ניתן גם לראות הבדל בין שני האלגוריתמים. NSGAII התכנס לענן אחיד ואילו MEOA/D התכנס לרצועות צרות. הבדל זה ניתן לראות גם דרך המדדים הסטטיסטים. דרך HV ניתן לראות את חוסר האחידות של MEOA/D ביחס ל NSGAII, ובתוספת של IGD שנותן לנו אינדיקציה לגבי התכנסות הפתרונות. כלומר, ככל שערך מדד ה-IGD נמוך יותר, כך הפתרון "קרוב" יותר אל החזית האופטימלית. מכיוון שב-NSGAII הערך הממוצע וסטיית התקן קטנים, כמעט בסדר גודל, ביחס ל MEOA/D, ניתן להסיק על ההבדל בין ביצועי האלגוריתמים גם ללא תצוגה חזותית.

הסיבה העיקרית להבדל בביצועי האלגוריתמים היא שיפורים שהכנסנו ל NSGAII על מנת לשפר את ביצועיו (כפי שצוין בחלק 4.1). שיפורים אלו לא שולבו ב MEOA/D ודאגנו שמספר הדורות יהיה זהה. אנו יכולים להעריך שאילו היינו מוסיפים שיפורים דומים או מגדילים את מספר הדורות היינו מגיעים לביצועים דומים.

יחד עם זאת, תוצאות NSGAI אינן אופטימליות ובמקרים רבים מתכנסות למינימום מקומי. ניתן לראות זאת בכך שבארבע מתוך שלושים ריצות קיבלנו רק פתרון אחד בחזית ובניסויים עם מספר רב יותר של פגמים (עד 1000) אמנם קיבלנו תוצאות טובות יותר מאלגוריתם הבסיס (NN) ובזמן יחסית סביר (מספר דקות). אנו מניחים שהשיפורים שהכנסנו באלגוריתם אמנם אגרסיביים ומכנסים את האלגוריתם מהר יחסית, אך באים על חשבון פיזור הפתרונות והתכנסות חזקה למינימום מקומי. על מנת לשפר את הביצועים אנו מציעים לשנות את מוטציית הבסיס כך שנכריח אותה להיות שונה מהותית מהאוכלוסייה הקיימת. הנחת הבסיס שלנו היא שאנו נתכנס לרוב למינימום מקומי, ומכיוון שהחזית אינה "חלקה" יש צורך בשינוי דרסטי בפתרון על מנת ליצור פתרון שונה שיאפשר מרחב מקיף יותר של הפרטו.